

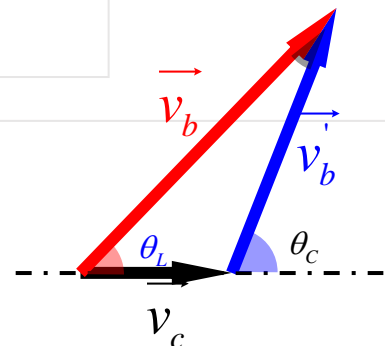
➤ 上节回顾:

- 核反应概述与分类
- Q方程与核能级
- 相对运动动能与阈能

$$Q = \left(1 + \frac{A_b}{A_B}\right) T_b - \left(1 - \frac{A_a}{A_B}\right) T_a - \frac{2\sqrt{A_a A_b T_a T_b}}{A_B} \cos \theta$$

$$T_b = \left\{ \frac{\sqrt{A_a A_b T_a}}{A_B + A_b} \cos \theta \pm \left[\left(\frac{A_B - A_a}{A_B + A_b} + \frac{A_a A_b}{(A_B + A_b)^2} \cos^2 \theta \right) T_a + \frac{A_B}{A_B + A_b} Q \right]^{1/2} \right\}^2$$

$$\gamma = \frac{v_c}{v'_b} = \left(\frac{A_a A_b}{A_A A_B} \frac{T'}{T' + Q} \right)^{1/2}$$



➤ 本节提要:

- 截面（测量）与产额
- 分波分析与截面（计算）
- “打哪儿来，回哪儿去” —— (a, a) 反应总是存在的
- 核反应的三个阶段

3. 单选题 (1分)

下面哪个反应的γ值最大？

- (A) 中子与U235的弹性碰撞
- (B) 中子与质子的弹性碰撞
- (C) 中子与C12的弹性碰撞
- (D) 4.82MeV的中子与C12的非弹性碰撞（已知C12的第一激发能级高度为4.44MeV）
- (E) 14MeV的中子与C12的非弹性碰撞（已知C12的第一激发能级高度为4.44MeV）

正确答案: D

4. 判断题 (1分)

截面的量纲是面积，其单位barn与一个球形原子核的几何面积相仿？

☒ ☐

正确答案: 正确

5. 判断题 (1分)

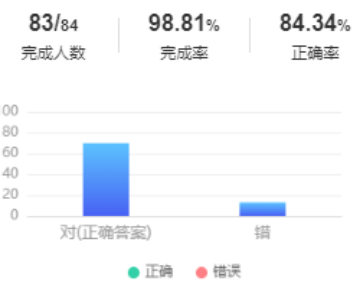
如果两个原子核的核子数A相差不大，则它们与射线（例如中子）发生相互作用的截面也是相近的。

☒ ☐

正确答案: 错误



答题分布



答题统计 (统计数据中的人数, 为已交卷人数)



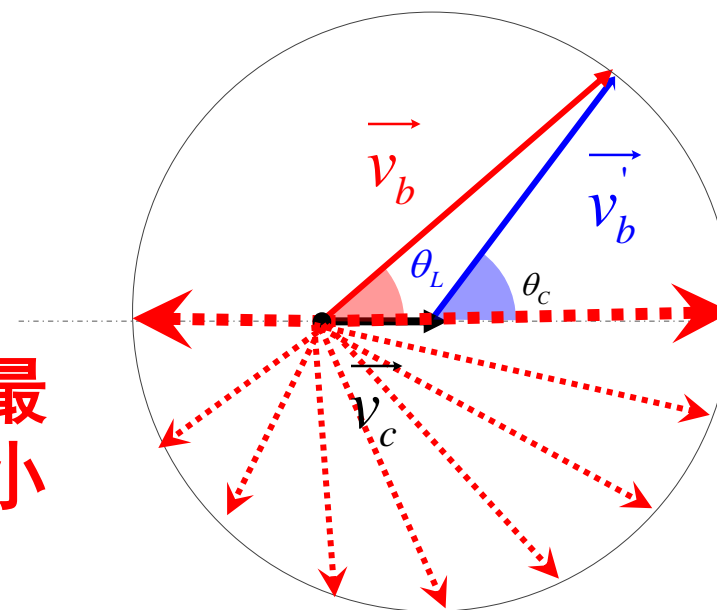
对于一般情况:

(1)

$$\gamma < 1 \Leftrightarrow v_c < v_b'$$

$$\theta_c = 180^\circ \Leftrightarrow \theta_L = 180^\circ$$

$$v_b = v_b' - v_c \quad \text{最小}$$



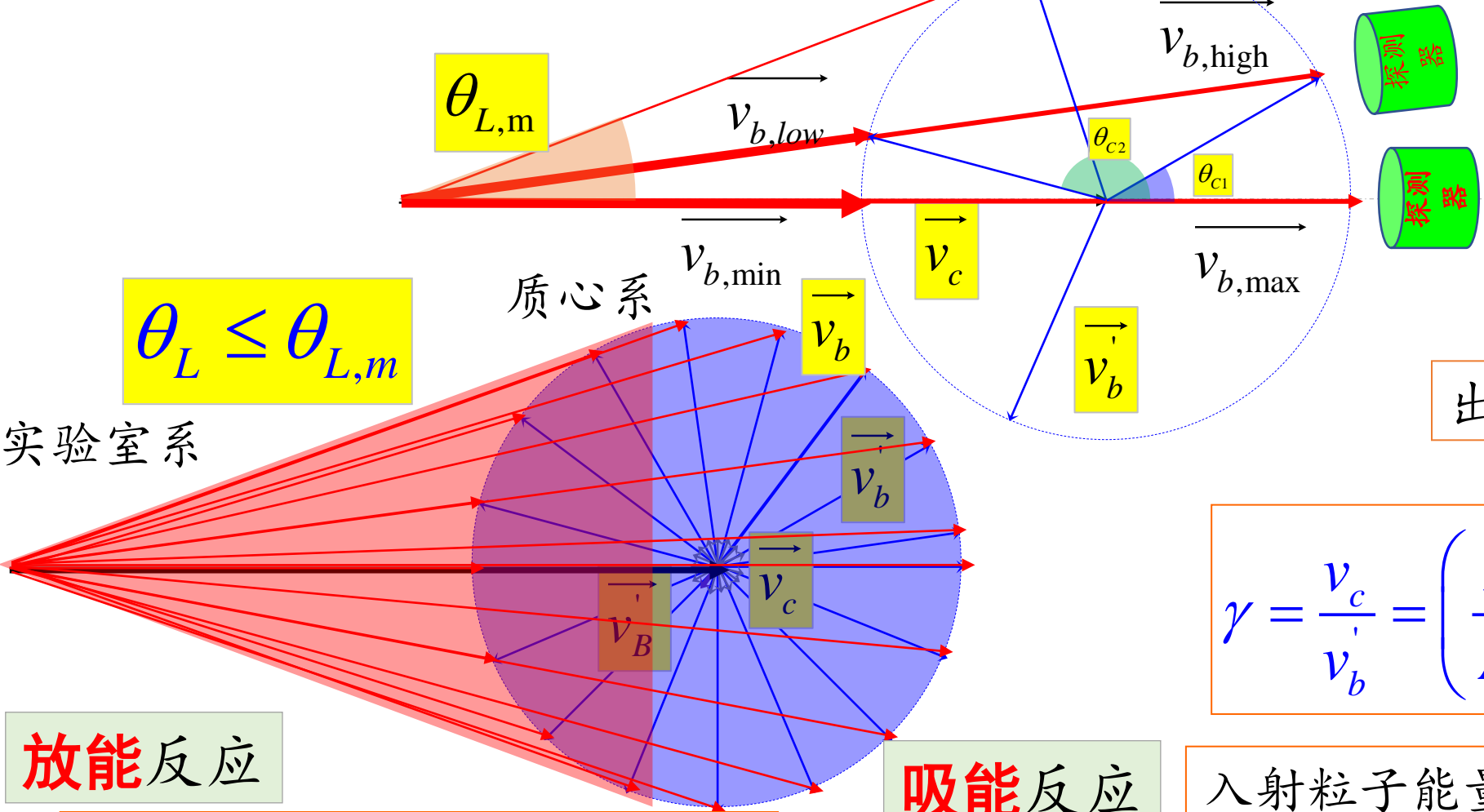
$$\theta_c = 0^\circ \Leftrightarrow \theta_L = 0^\circ$$

$$v_b = v_b' + v_c \quad \text{最大}$$

- v_b 随出射角 θ_c 或 θ_L 增大而 **单调下降**;
- γ **越小**, 出射粒子能量分布越 **平坦**;
- $\gamma \rightarrow 0$ 时 (小a大A), v_b 几乎 **不随** θ_L **变化**;
- $\gamma \rightarrow 1$ 时 (aA等重), 出射粒子能量随角度 **下降最快**, θ_L 大角度时, v_b 趋于零。

(2) $\gamma > 1 \Leftrightarrow v_c > v'_b$

$$T_b = \left\{ \frac{\sqrt{A_a A_b T_a}}{A_B + A_b} \cos \theta \pm \left[\left(\frac{A_B - A_a}{A_B + A_b} + \frac{A_a A_b}{(A_B + A_b)^2} \cos^2 \theta \right) T_a + \frac{A_B}{A_B + A_b} Q \right]^{1/2} \right\}^2$$



$$\theta_{L,m} = \sin^{-1} \left(\frac{1}{\gamma} \right)$$
$$= \sin^{-1} \left(\frac{v'_b}{v_c} \right)$$

出现圆锥效应的条件：

$$\gamma = \frac{v_c}{v'_b} = \left(\frac{A_a A_b}{A_A A_B} \frac{T'}{T' + Q} \right)^{1/2} > 1$$

放能反应

吸能反应

$A_a A_b > A_A A_B$ 时，才可能 $\gamma > 1$ ；

入射粒子能量超过阈值（但不能过多）可能发生，但概率较小；

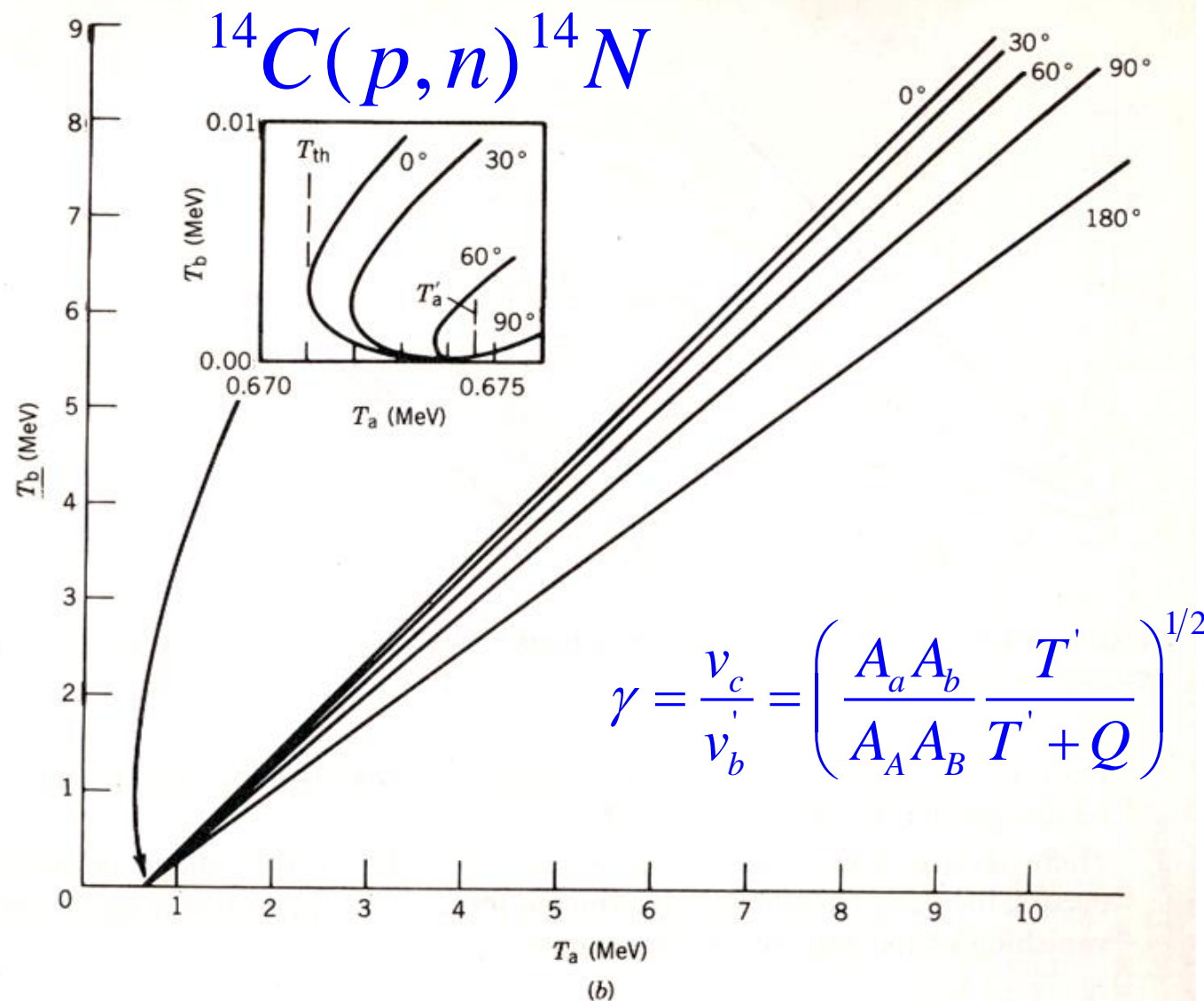


Figure 11.2 (b) T_a vs T_b for the reaction $^{14}\text{C}(p,n)^{14}\text{N}$. The inset shows the double-valued region.

$$Q = 7.2889 + 3.0198 - 8.0713 - 2.8634 = -0.626 \text{ MeV}$$

$$T_{th} = \frac{m_a + m_A}{m_A} |Q| = \frac{A_a + A_A}{A_A} |Q|$$

$$= \frac{15}{14} \cdot 0.626 = 0.6707 \text{ MeV}$$

$$\frac{T'}{T' + Q} > \frac{A_A A_B}{A_a A_b} = 196$$

$$\rightarrow T' < \frac{-196}{195} \cdot Q = 0.6292 (\text{MeV})$$

$$\rightarrow T_a < \frac{15}{14} \cdot T' = 0.6742 (\text{MeV})$$

§ 4.1 原子核反应概况

§ 4.2 核反应能和Q方程

§ 4.3 实验室坐标系和质心坐标系

✓ § 4.4 核反应截面和产额

§ 4.5 核反应中的分波分析

§ 4.6 核反应机制及核反应模型

核反应能否发生：守恒定律，能量条件；
核反应发生的几率：反应截面。

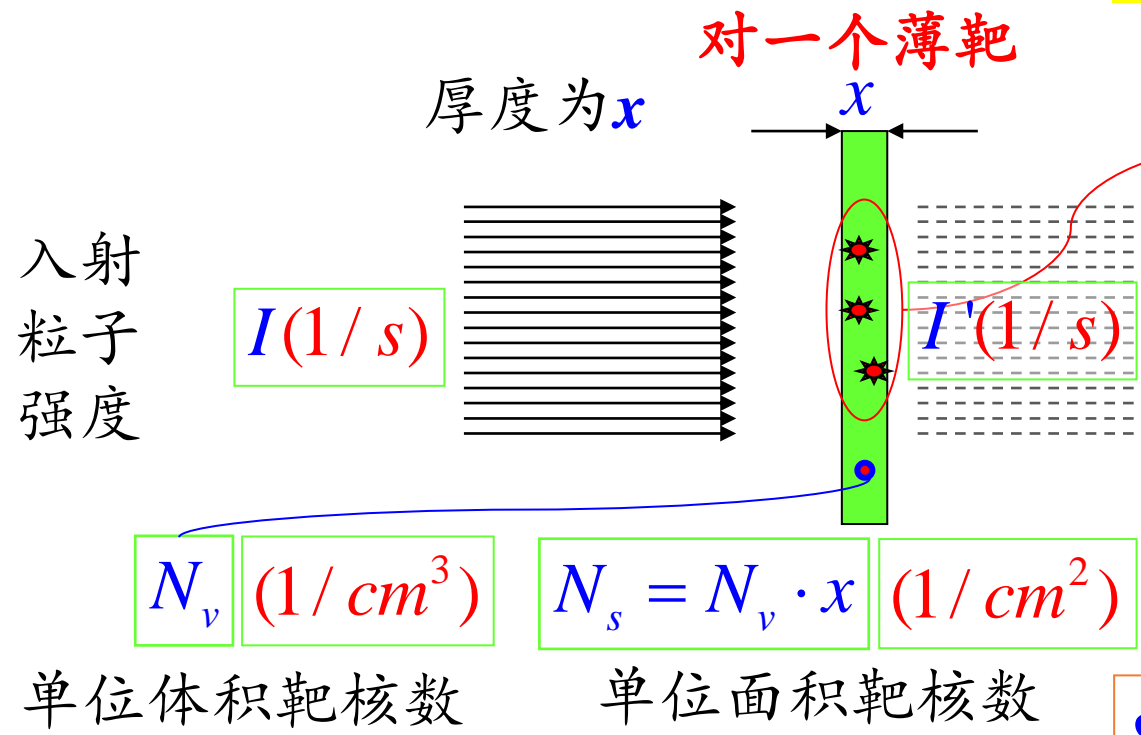
一. 核反应截面

二. 微分截面和角分布

三. L系与C系中反应截面的转换

四. 核反应产额

单位时间入射粒子与靶核发生**反应数**



$$N' \propto I \cdot N_s$$

$$1/s$$

$$1/s \cdot 1/cm^2$$

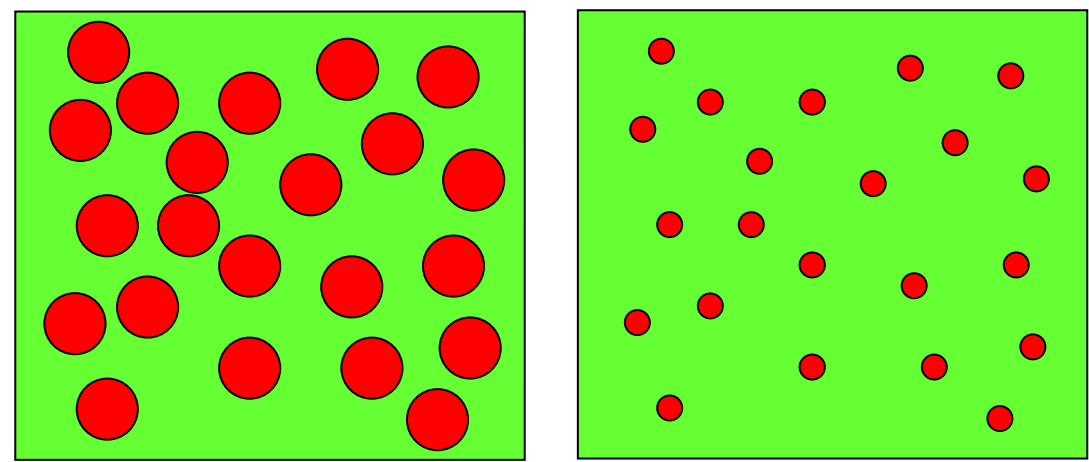
$$N' = \sigma I N_s$$

核反应截面

σ 的单位为barn、靶，**面积**量纲

$$1b = 10^{-24} cm^2$$

核半径 $\sim 10^{-12} \sim 10^{-13} cm$ ，1b
与原子核的几何截面相当。



截面 σ (Cross section)

$$\sigma = \frac{N'}{IN_s} = \frac{\text{单位时间内发生的核反应数}}{\text{单位时间内的入射粒子数} \times \text{单位面积的靶核数}}$$

物理意义

- 一个入射粒子与单位面积上的一个靶核发生反应的**概率**。
- 每单位面积1个**靶核A**，“**捕捉**” 1个**入射粒子a**的概率。

不同反应道有各自截面：**分截面**

分截面之和，称为**总截面**

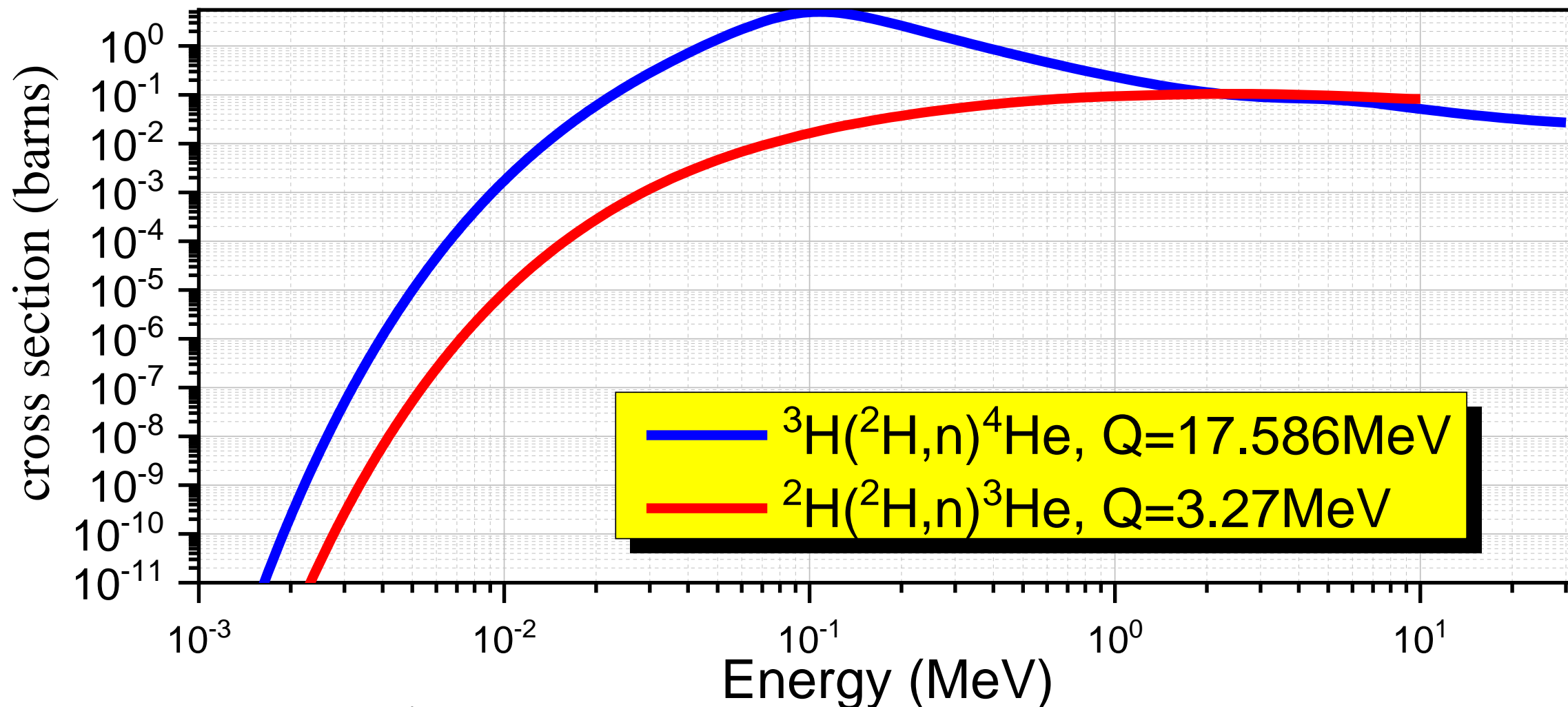
$$\sigma_1 = \sigma_1(n, p) \quad \sigma_2 = \sigma_2(n, \alpha) \quad \dots \dots$$

$$\sigma = \sum_i \sigma_i$$

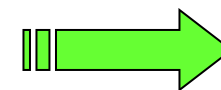
提示：这个定义仅是从实验测量的角度来理解的。更具物理图像的定义（计算）请见后面的分波分析部分的讨论。

➤ **激发函数：** 截面随入射粒子能量的变化关系。

➤ **激发曲线：** 由激发函数画出的曲线。



核反应产物的出射可能各向异性



微分截面

设单位时间, $\theta \rightarrow \theta + d\theta$, $\phi \rightarrow \phi + d\phi$ 出射粒子数 dN'

则 $dN' \propto IN_s d\Omega$

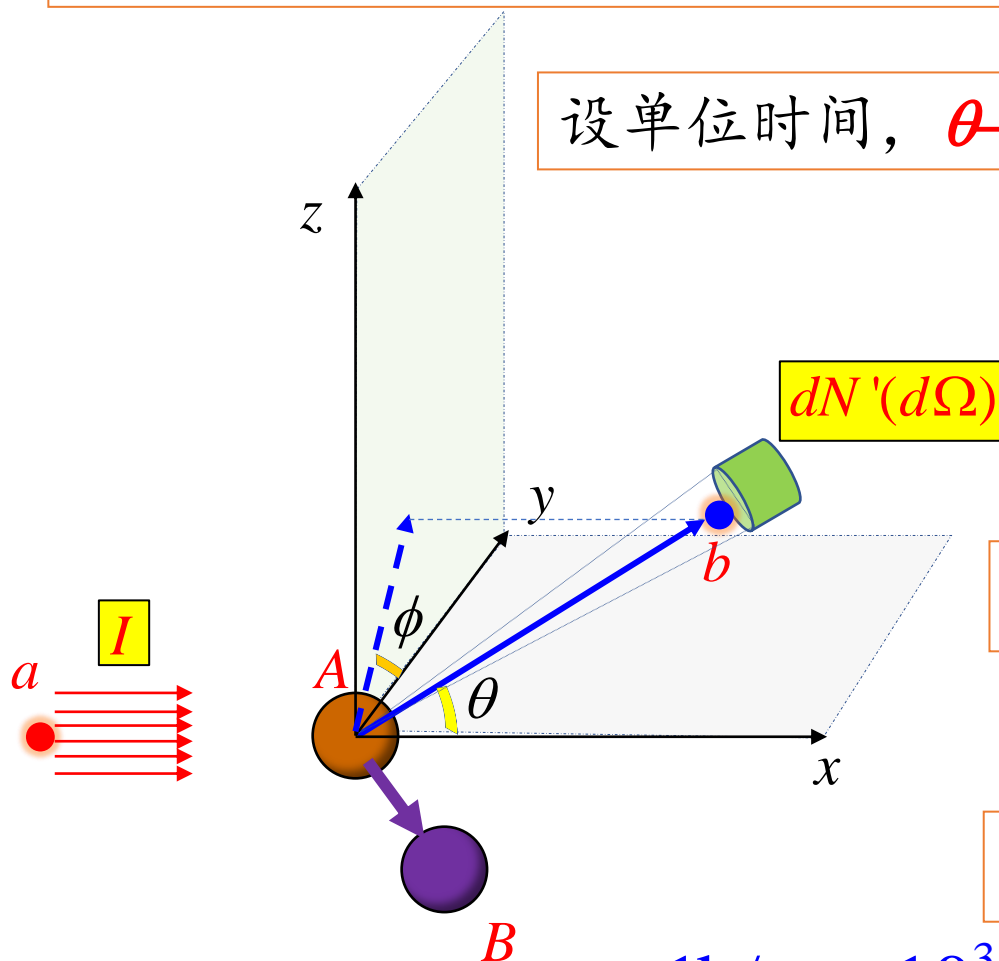
$$dN' = \sigma(\theta, \phi) IN_s d\Omega$$

微分截面

$$\sigma(\theta, \phi) \quad \text{或} \quad \frac{d\sigma}{d\Omega}(\theta, \phi)$$

微分截面单位

$$1\text{b/sr} = 10^3 \text{mb/sr} = 10^6 \mu\text{b/sr}(\text{steradian})$$



微分截面 (differential cross section)

$$\sigma(\theta, \phi) = \frac{dN'}{IN_s d\Omega} = \frac{\text{单位时间内、}(\theta, \Phi)\text{方向单位立体角发生的核反应数}}{\text{单位时间内的入射粒子数} \times \text{单位面积的靶核数}}$$

- 微分截面既是实验测量量，又是理论计算量；
- 实验测量微分截面，积分可得到总截面。

$$N' = IN_s \int_{\Omega} \sigma(\theta, \varphi) d\Omega = IN_s \int_0^{2\pi} \int_0^{\pi} \sigma(\theta, \varphi) \sin \theta d\theta d\varphi$$

总截面

$$\sigma = \frac{N'}{IN_s} = \int_0^{2\pi} \int_0^{\pi} \sigma(\theta, \varphi) \sin \theta d\theta d\varphi = 2\pi \int_0^{\pi} \sigma(\theta) \sin \theta d\theta$$

实验测量截面 $\sigma_L(\theta_L) \longleftrightarrow$ 理论计算截面 $\sigma_c(\theta_c)$ 。

L系中，单位时间 $\theta_L \rightarrow \theta_L + d\theta_L$ 的出射粒子数 dN_L' ，

$$dN_L' = IN_s \sigma_L(\theta_L) d\Omega_L$$

同一个过程，不同系的观察

C系中，单位时间 $\theta_c \rightarrow \theta_c + d\theta_c$ 的出射粒子数 dN_c' ，

$$dN_c' = IN_s \sigma_c(\theta_c) d\Omega_c$$

出射粒子数 dN' 不随坐标系选择而改变

$$\sigma_L(\theta_L) d\Omega_L = \sigma_c(\theta_c) d\Omega_c$$

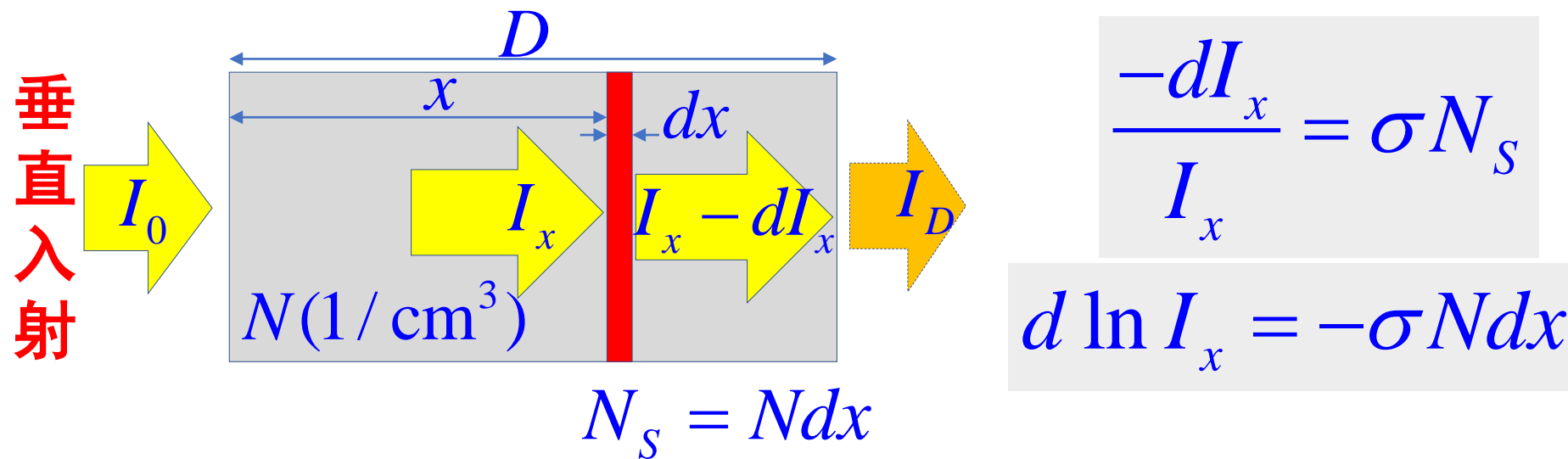
以下三页，请自行阅读

定义： 入射粒子在靶中引起的**核反应数** N' 与**入射粒子数** I_0 之比，称为
核反应产额 Y 。

$$Y = \frac{N'}{I_0}$$

反应产额与下列因素有关：

- **截面**特性 (a, A, T_a) $\rightarrow \sigma$: cm^2
- **靶的**特性 (厚度, 纯度, 密度) $\rightarrow ND$: $1/\text{cm}^2$



初始条件:

$$I(x=0) = I_0$$

$$I_x = I_0 e^{-\sigma N x}$$

通过厚度为 D 的靶后

$$I_D = I_0 e^{-\sigma N D}$$

反应产额:

$$Y = \frac{N'}{I_0} = \frac{I_0 - I_D}{I_0} = 1 - e^{-\sigma N D}$$

$$Y = 1 - e^{-\sigma ND}$$

$\Sigma = N\sigma$, 宏观截面(1/cm)
 $\lambda = 1/\Sigma$, 平均自由程 (cm)

$D \ll \lambda = \frac{1}{\sigma N}$ 时, 这种靶称为**薄靶**, $Y = \sigma ND$

$D \gg \lambda = \frac{1}{\sigma N}$ 时, 这种靶称为**厚靶**, $Y = 1$

透射率

$$T = \frac{I_D}{I_0} = e^{-\sigma ND}$$

可以通过透射率测量**总截面**

$$\sigma = -\frac{1}{ND} \ln T$$

已知 ^3He 气体的数密度为 $10^{19}/\text{cm}^3$,某能量中子与其反应截面为1000barn, 则该能量中子穿透0.1cm后的 ^3He 气体的反应产额是多少?

[填空1]

正常使用填空题需3.0以上版本雨课堂

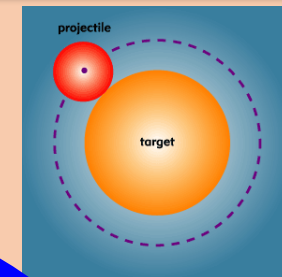
作答

- 所谓**截面**，朴素地讲，就是**a**和**A**互相“**观察**”对方时**面积**的大小。 $1 \text{ barn} = 10^{-24} \text{ cm}^2 = 100 \text{ fm}^2$ ，与核子数为100的原子核的截面大小相当。
- 但实际核反应的截面，却既有可能**比1barn大**，也有可能**比1barn小**；
- 决定**总截面**大小的**因素**有三个：**a**，**A**，**T_a**；
- 如果考虑到入射道**(a,A)**可能对应于不同的出射道**(B,b)** **(B',b')**，则各反应道还会有其各自的**分截面**；
- **截面 σ 是有量纲的**，**因此不能用它直接得到反应产额（物理意义是概率）**，给它乘以数密度 **N**，得到的是量纲为距离倒数的**宏观截面 $N\sigma$** ，再乘以靶厚 **D**，就可以得到**无量纲数 $N\sigma D$** 了，用它就能计算反应产额： **$Y = 1 - e^{-N\sigma D}$** 。



核反应截面差异巨大, 导致截面 “>>” 或 “<<” 原子核真实几何截面大小的因素可能是什么?

几何截面 πR^2 (barn) 25.3 meV 中子的 (n, γ) 截面 (barn) :



0.29

 ^{16}O 1.7×10^{-4}

0.07

 ^2H 5.06×10^{-4}

0.045

 ^1H 3.32×10^{-1}

0.21

 ^{10}B 3.84×10^3

0.22

 ^{11}B 5.5×10^{-3}

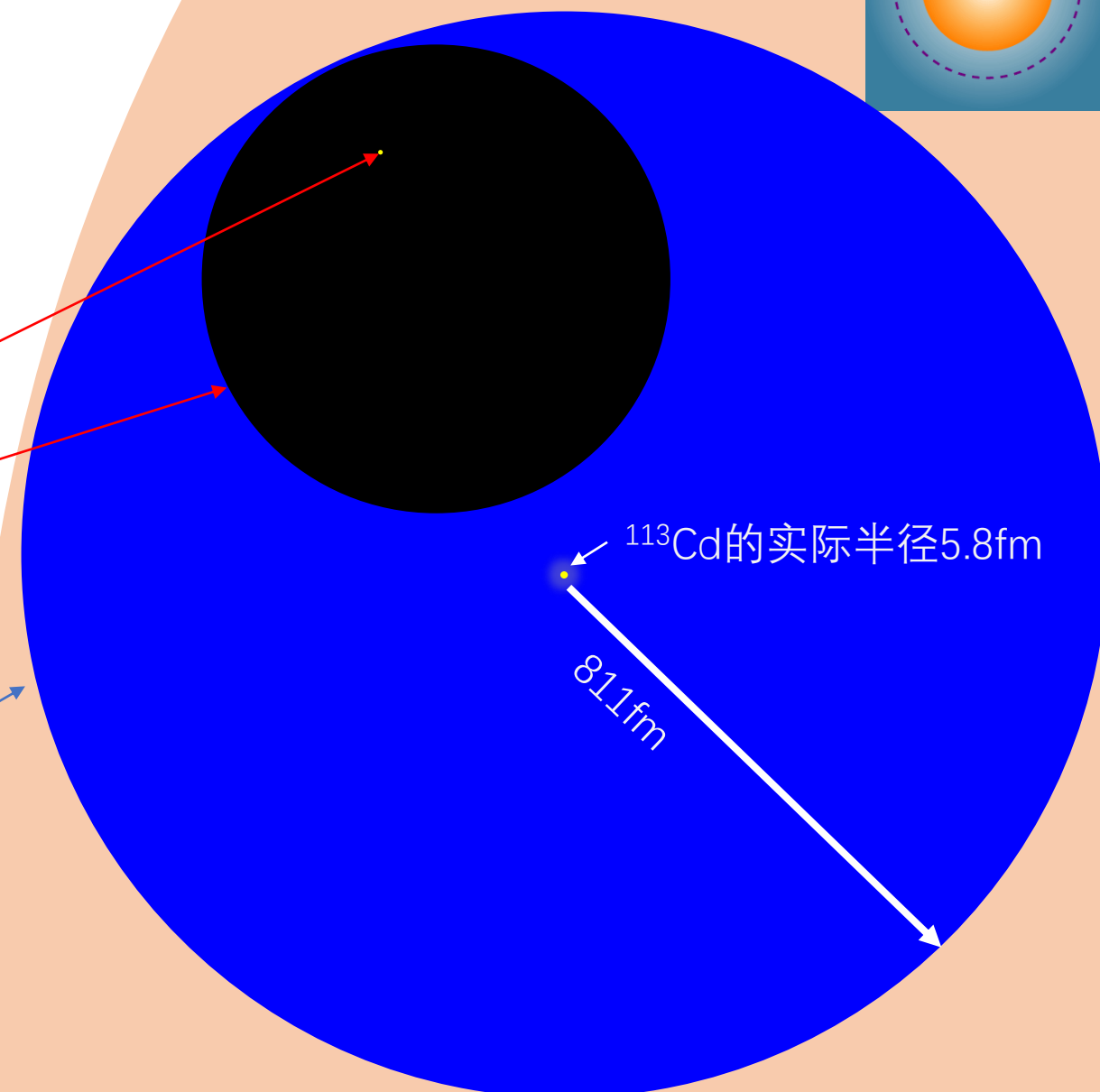
1.06

 ^{113}Cd 2.06×10^4

1.32

 ^{157}Gd 2.54×10^5

1.19

 ^{135}Xe 2.65×10^6 

§ 4.1 原子核反应概况

§ 4.2 核反应能和Q方程

§ 4.3 实验室坐标系和质心坐标系

§ 4.4 核反应截面和产额

✓ § 4.5 核反应中的分波分析

§ 4.6 核反应机制及核反应模型

入射粒子带来的轨道角动量有不同的组成（s, p, d, f.....），
可以根据不同的**轨道角动量**来分析核反应截面。

一. 半经典的分波分析

二. 量子力学的分波分析

三. 低能中子的弹性散射截面

入射粒子a速度 v_a

相对运动动能

$$T' = \frac{1}{2} \mu v_a^2$$

相对运动动量

$$p = \sqrt{2\mu T'} = \frac{m_A}{m_A + m_a} m_a v_a$$

约化德布罗意波长

$$\hat{\lambda} = \frac{\hbar}{p}$$

相对运动的角动量

$$L = p \cdot \rho = \frac{\hbar}{\hat{\lambda}} \cdot \rho = \frac{\rho}{\hat{\lambda}} \cdot \hbar$$

$$L = l\hbar$$

$$(l = 0, 1, 2, \dots)$$

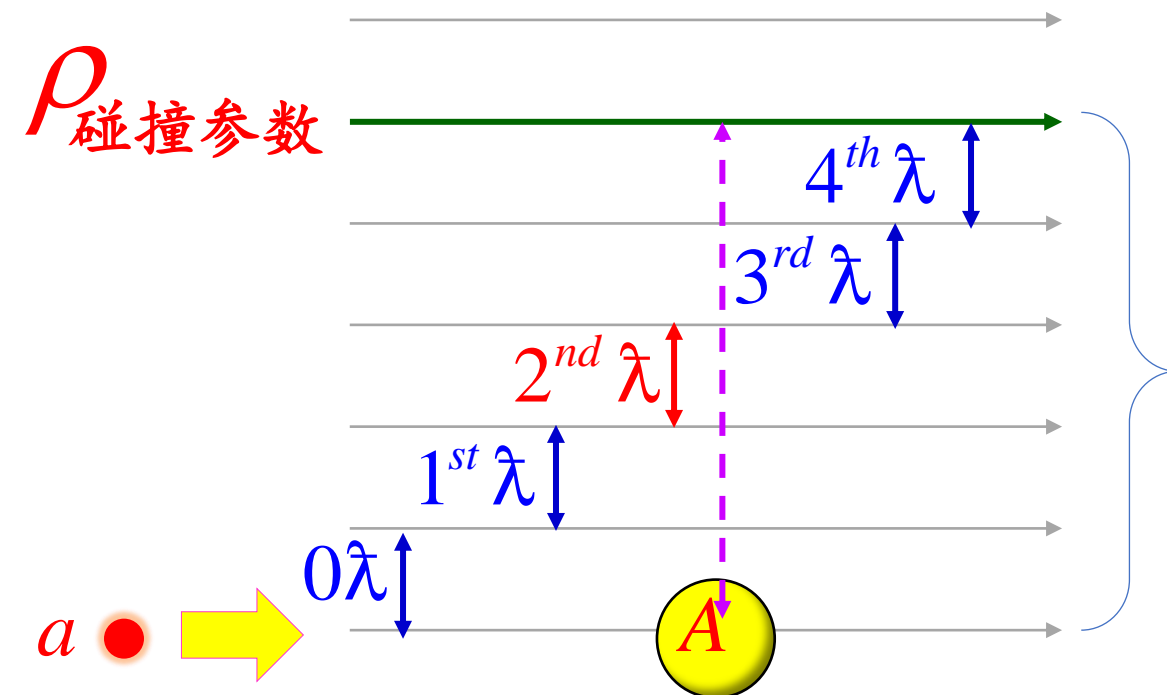
轨道角动量
量子化存在

因此(a,A)的碰撞过程，
可以被分解为对应于不
同轨道角动量的部分

$$\frac{\rho}{\hat{\lambda}} = 0, 1, 2, 3, \dots$$

$$\rho = l\hat{\lambda} \\ = 0\hat{\lambda}, 1\hat{\lambda}, 2\hat{\lambda}, 3\hat{\lambda}, \dots$$

ρ 碰撞参数



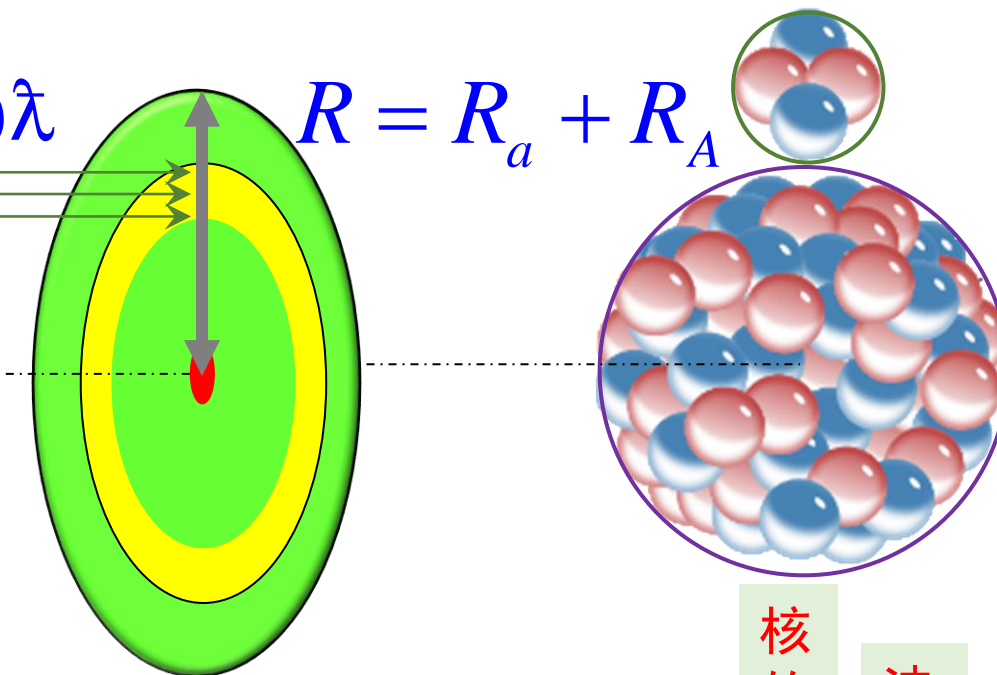
$$\rho = l\hat{\lambda} \leq R = R_a + R_A$$

$$l \leq \frac{R}{\hat{\lambda}} = l_{\max}$$

带来角动量 $l\hbar$

$\rho_{l+1} = (l+1)\hat{\lambda}$

$\rho_l = l\hat{\lambda}$



总截面

$$\sigma = \sum_{l=0}^{R/\hat{\lambda}} (2l+1)\pi\hat{\lambda}^2 = \pi(R + \hat{\lambda})^2$$

核的大小

波动性

轨道角动量为 $l\hbar$ 的入射粒子与靶核的作用截面为

$$S_l = \pi(\rho_{l+1}^2 - \rho_l^2) = \pi[(l+1)^2 - l^2]\hat{\lambda}^2$$

$$= (2l+1)\pi\hat{\lambda}^2$$

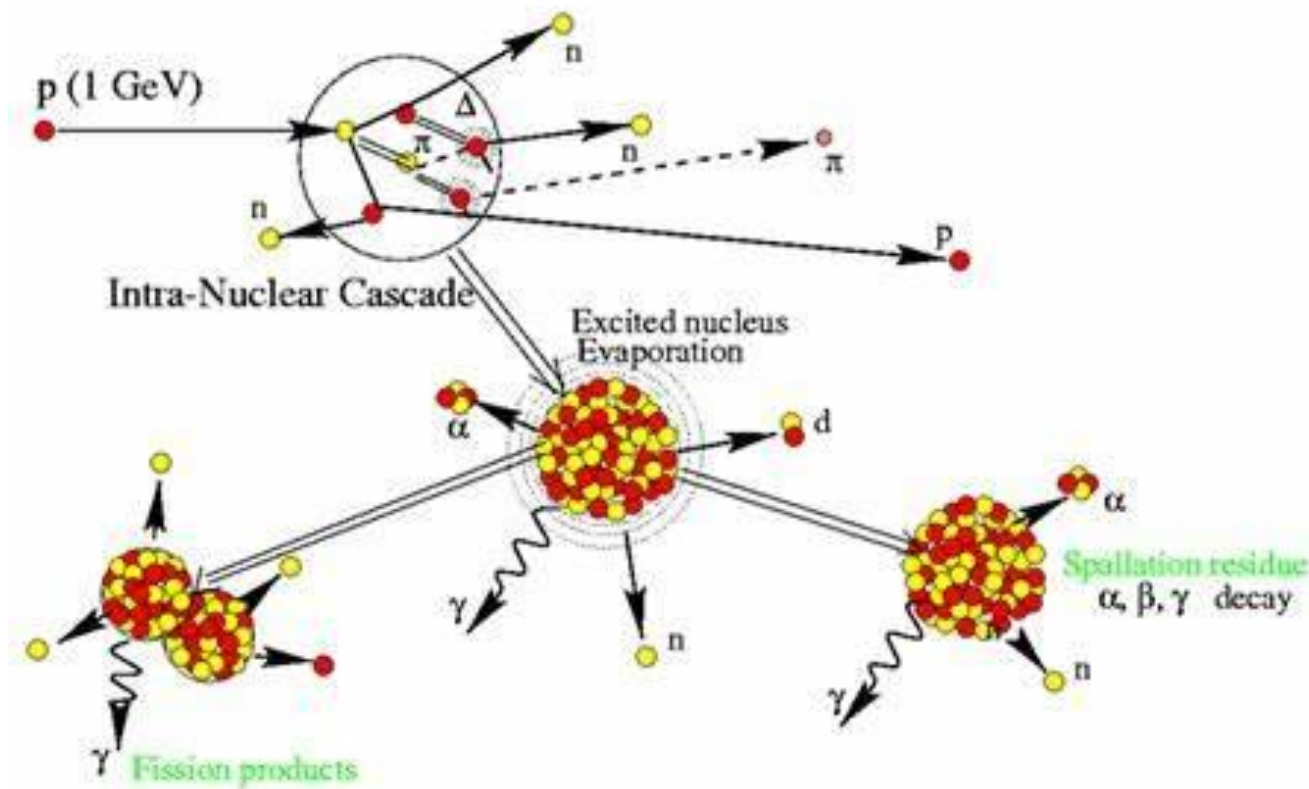
发生反应的截面满足

$$\sigma_{r,l} \leq S_l = (2l+1)\pi\hat{\lambda}^2$$

核的尺寸和粒子的波动性，都对截面有贡献

散裂中子源，一般是（1）用动能大于1000MeV的质子来轰击高Z靶（例如钨，水银）来制造中子，然后将中子慢化为热中子或冷中子（波长 $1.85 \times 10^{-10}\text{m}$ 或更长）后（2）来分析被检测对象（假设是 ^{10}B ， $\sigma(n,\gamma)=3836\text{barn}$ ）。请问，在（1）和（2）中，对反应截面起主要贡献的分别是质子和中子的什么因素？

- A R, R
- B $\hat{\lambda}$, $\hat{\lambda}$
- ☒ C R, $\hat{\lambda}$
- D $\hat{\lambda}$, R



提交

$$\sigma = \sum_{l=0}^{R/\hat{\lambda}} (2l+1)\pi\hat{\lambda}^2 = \pi(R + \hat{\lambda})^2$$

向**x**方向入射的粒子束可用**平面波**表示，在有心力场中，**球面波分解**更合适

$$\psi_i = e^{ikx} = e^{ikr \cos \theta} = \sum_{l=0}^{\infty} (2l+1) i^l \cdot j_l(kr) \cdot P_l(\cos \theta)$$

$kr \gg l$
波函数远离原子核

$$j_l(kr) \approx \frac{\sin(kr - l\pi/2)}{kr} = i \frac{e^{-i(kr - l\pi/2)} - e^{+i(kr - l\pi/2)}}{2kr}$$

$$\psi_i = \frac{1}{2kr} \sum_{l=0}^{\infty} i^{l+1} (2l+1) \left[e^{-i\left(kr - \frac{l\pi}{2}\right)} - e^{+i\left(kr - \frac{l\pi}{2}\right)} \right] \cdot P_l(\cos \theta)$$

-r: 入射球面波

+r: 出射球面波

原点仅仅是个几何意义上的点，空空如也

原点上有靶核，散射会导致出射波函数的变化

$$\psi_i = \frac{1}{2kr} \sum_{l=0}^{\infty} i^{l+1} (2l+1) \left[1 \times e^{-i\left(kr - \frac{l\pi}{2}\right)} - 1 \times e^{+i\left(kr - \frac{l\pi}{2}\right)} \right] P_l(\cos \theta)$$

入射波系数不变

出射波系数改变

靶核导致波函数变化了

$$\psi = \frac{1}{2kr} \sum_{l=0}^{\infty} i^{l+1} (2l+1) \left[1 \times e^{-i\left(kr - \frac{l\pi}{2}\right)} - \eta_l \times e^{+i\left(kr - \frac{l\pi}{2}\right)} \right] P_l(\cos \theta)$$

与散射、反应有关

出射波系数 η_l —— 一个与 l 有关的复数

- 入射轨道角动量 l 不同，出射波振幅和相位也不同
- 散射时， $|\eta_l|=1$
- 反应时， $|\eta_l|<1$

$$\psi_{sc} = \psi - \psi_i = \frac{1}{2kr} \sum_{l=0}^{\infty} i^{l+1} (2l+1) \left[\underbrace{1 \times e^{-i\left(kr - \frac{l\pi}{2}\right)}}_{\text{抵消}} - \underbrace{\eta_l \times e^{+i\left(kr - \frac{l\pi}{2}\right)}}_{\text{差异反应了散射}} \right] P_l(\cos \theta) - \frac{1}{2kr} \sum_{l=0}^{\infty} i^{l+1} (2l+1) \left[\underbrace{1 \times e^{-i\left(kr - \frac{l\pi}{2}\right)}}_{\text{抵消}} - \underbrace{1 \times e^{+i\left(kr - \frac{l\pi}{2}\right)}}_{\text{差异反应了散射}} \right] P_l(\cos \theta)$$

$$= \frac{1}{2kr} \sum_{l=0}^{\infty} i^{l+1} (2l+1) (1 - \eta_l) e^{+i\left(kr - \frac{l\pi}{2}\right)} P_l(\cos \theta)$$

示例：不同轨道角动量对应的散射波函数

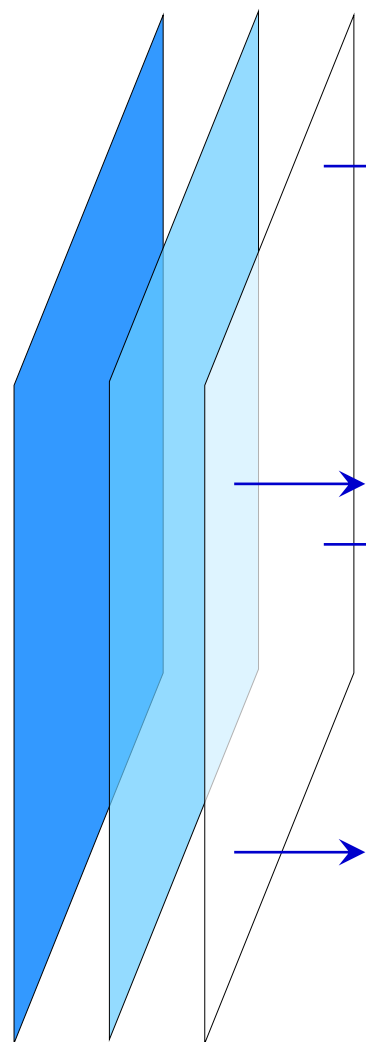
$$= \sum_{l=0}^{\infty} \psi_{sc,l}$$

$$\psi_{sc,0} = \frac{i}{2kr} (1 - \eta_0) e^{ikr}$$

$$\psi_{sc,1} = \frac{-3}{2kr} (1 - \eta_1) e^{i(kr - \pi/2)} \cos \theta$$

$$\psi_{sc,2} = \frac{-5i}{2kr} (1 - \eta_2) e^{i(kr - \pi)} \left(\frac{3}{2} \cos^2 \theta - \frac{1}{2} \right)$$

入射平面波



$$d\sigma_{sc} = \frac{j_{scattered} \cdot r^2 d\Omega}{j_{incident}} \cdot \frac{\left(\frac{1}{\text{cm}^2 \cdot \text{s}} \cdot \text{cm}^2 \right)}{\left(\frac{1}{\text{cm}^2 \cdot \text{s}} \right)}$$

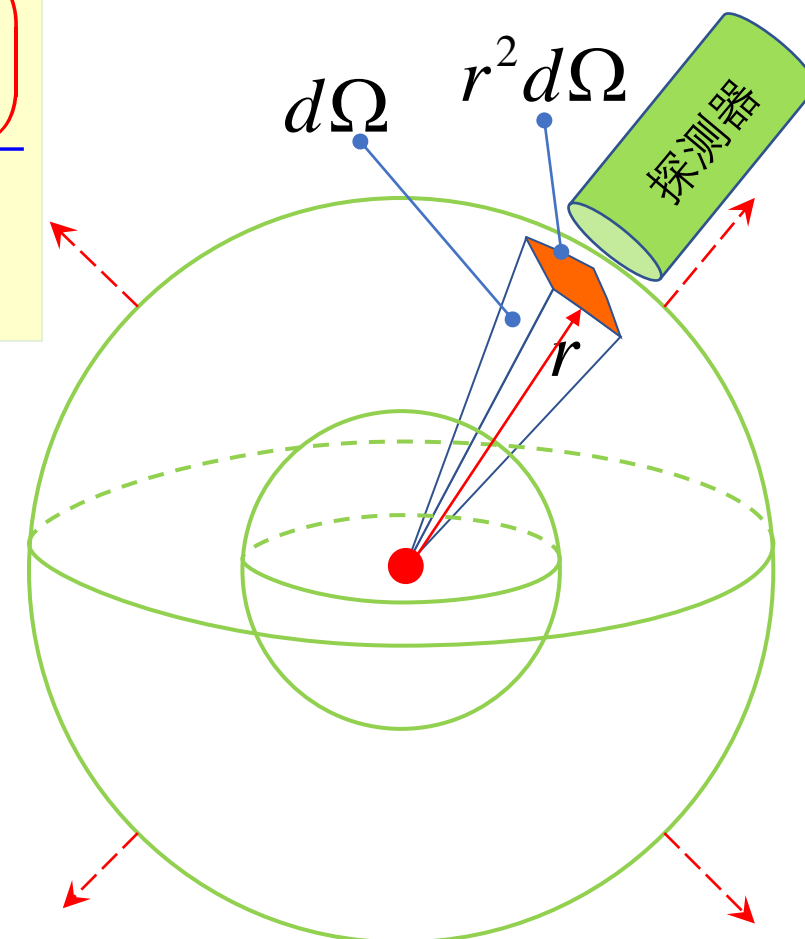
 j : 粒子流注量率

$$j = \frac{\hbar}{2mi} \left(\psi^* \frac{\partial \psi}{\partial r} - \frac{\partial \psi^*}{\partial r} \psi \right)$$

$$\frac{d\sigma_{sc}}{d\Omega} = \frac{(j_{scattered}) r^2}{j_{incident}}$$

散射截面 (cm^2)

散射粒子数 (1/s)

入射粒子注量率 ($1/\text{cm}^2/\text{s}$)

散射球面波

$$j_{scattered} = \frac{\hbar}{2mi} \cdot \frac{|1-\eta_0|^2}{4k^2} \left[\frac{e^{-ikr}}{r} \left(\frac{e^{ikr}}{r} \right) - \frac{e^{ikr}}{r} \left(\frac{e^{-ikr}}{r} \right) \right]$$

抵消为0

$$j_{scattered} = \frac{\hbar|1-\eta_0|^2}{8mk^2i} \left[\frac{e^{-ikr}}{r} \left(\frac{ike^{ikr}}{r} - \frac{e^{ikr}}{r^2} \right) - \frac{e^{ikr}}{r} \left(\frac{-ike^{-ikr}}{r} - \frac{e^{-ikr}}{r^2} \right) \right]$$

$$j_{scattered} = \frac{\hbar|1-\eta_0|^2}{8mk^2i} \cdot \frac{2ik}{r^2}$$

$$j_{scattered} = \frac{\hbar k}{m} \cdot \frac{|1-\eta_0|^2}{4k^2 r^2}$$

$$\psi_i = e^{ikx}$$

$$j_{incident} = \frac{\hbar}{2mi} \left[e^{-ikx} \cdot ike^{ikx} - (-ik)e^{-ikx} \cdot e^{ikx} \right]$$

$$j_{incident} = \frac{\hbar k}{m}$$

$$j = \frac{\hbar}{2mi} \left(\psi^* \frac{\partial \psi}{\partial r} - \frac{\partial \psi^*}{\partial r} \psi \right)$$

(以 $l=0$ 为例入手)

$$\psi_{sc,0} = \frac{i(1-\eta_0)}{2k} \cdot \frac{e^{ikr}}{r}$$

$$\frac{d\sigma_{sc,0}}{d\Omega} = \frac{(j_{scattered})r^2}{j_{incident}} = \frac{|1-\eta_0|^2}{4k^2} = \frac{\lambda^2}{4} |1-\eta_0|^2$$

把所有角动量都考虑进去

$$\frac{d\sigma_{sc}}{d\Omega} = \frac{\lambda^2}{4} \left| \sum_{l=0}^{\infty} (2l+1)i(1-\eta_l)P_l(\cos\theta) \right|^2$$

以上是单位立体角下的微分截面，对 4π 立体角做积分，得到总截面：

$$\sigma_{sc} = \int \frac{d\sigma_{sc}}{d\Omega} \cdot d\Omega$$

$$d\Omega = \sin \theta d\theta d\phi$$

$$\sigma_{sc} = \frac{\hat{\lambda}^2}{4} \int_0^{2\pi} \int_0^\pi \left| \sum_{l=0}^{\infty} (2l+1)i(1-\eta_l)P_l(\cos \theta) \right|^2 \cdot \sin \theta d\theta d\phi$$

$$\sigma_{sc} = \frac{\pi \hat{\lambda}^2}{2} \cdot \int_0^\pi \left| \sum_{l=0}^{\infty} (2l+1)i(1-\eta_l)P_l(\cos \theta) \right|^2 \cdot \sin \theta d\theta$$

$$\int P_l(\cos \theta) P_{l'}(\cos \theta) \sin \theta d\theta = \begin{cases} \frac{2}{2l+1}, & l=l' \\ 0, & l \neq l' \end{cases}$$

对于**反应截面**，即出射粒子b不是a的反应，可以认为a消失了，此时需要考虑

$$1 - |\eta_l|^2$$

类似的推导过程可得**反应截面的表达式**

$$\sigma_{sc} = \pi \hat{\lambda}^2 \sum_{l=0}^{\infty} (2l+1) \cdot |1 - \eta_l|^2$$

$$\sigma_r = \pi \hat{\lambda}^2 \sum_{l=0}^{\infty} (2l+1) \cdot (1 - |\eta_l|^2)$$